



Piçule

Sivilotti P., Stocco M., Migliaro D., Crespan M., 2015. Piçule. In: Italian Vitis Database. www.vitisdb.it, ISSN 2282-006X

release 17/06/2015, ultimo aggiorn. 17/06/2015 url <http://vitisdb.it/varieties/show/1309>

Informazioni generali gestite da

Consiglio per la ricerca in agricoltura e l'analisi dell'economia agraria - Centro di ricerca per la viticoltura (Conegliano TV)

Informazioni botaniche

nome Piçule
tipo di origine spontanea
specie Vitis vinifera
gruppo di varietà non disponibile
trueness to type accertato con rilievi morfologici e microsatteliti
codice IVD-var_243

genere Vitis
sottospecie sativa
vitigno da vino

True-name

confermato **incerto**

Bibliografia correlata (1)

| autori | anno | titolo | rivista | citazione |
|--------------------------------------|------|---|---------|---------------|
| Sivilotti P., Petrusci C., Stocco M. | 2013 | Le viti dimenticate. Un patrimonio riscoperto in Friuli Venezia Giulia. | | ERSA, Gorizia |

Registrazione

iscritto al Registro Nazionale delle Varietà di Viti no

Sinonimi

nessun sinonimo disponibile per Piçule

Accessione principale

accessione principale Piçule
componente che l'ha inserita Consiglio per la ricerca in agricoltura e l'analisi dell'economia agraria - Centro di ricerca per la viticoltura (Conegliano TV)

Accessioni standardizzate (1)

- Piçule - Consiglio per la ricerca in agricoltura e l'analisi dell'economia agraria - Centro di ricerca per la viticoltura (Conegliano TV)

Tutte le accessioni (1)

- Piçule - Consiglio per la ricerca in agricoltura e l'analisi dell'economia agraria - Centro di ricerca per la viticoltura (Conegliano TV)

Cloni omologati

Nessun clone disponibile per

Profilo microsatellite standardizzato

| loci: | loci predefiniti (9) | | | | | | | | | | | | | | | | | |
|-------------|------------------------|-----|-------|-----|-------|-----|--------|-----|---------|-----|---------|-----|--------|-----|--------|-----|--------|-----|
| | VVS2 | | VVMD5 | | VVMD7 | | VVMD27 | | VrZAG62 | | VrZAG79 | | VVMD25 | | VVMD28 | | VVMD32 | |
| allele: | A1 | A2 | A1 | A2 | A1 | A2 | A1 | A2 | A1 | A2 | A1 | A2 | A1 | A2 | A1 | A2 | A1 | A2 |
| dimensione: | 133 | 155 | 227 | 231 | 239 | 257 | 181 | 189 | 196 | 196 | 251 | 259 | 240 | 256 | 251 | 267 | 265 | 273 |

Vi sono altri loci consultabili online

Immagini



germoglio



foglia



foglia pagina inferiore



grappolo



acino





vinacciolo

Riferimenti storici

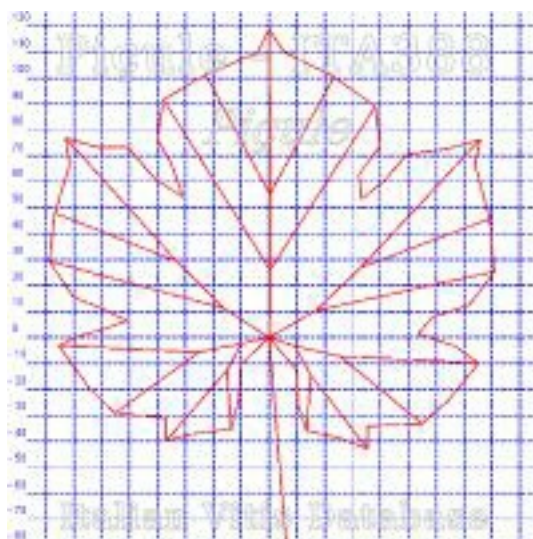
Una vite singola di questa varietà è stata trovata in un vigneto storico del Friuli, in località Campegljo di Faedis (Udine) nel 2005. E' stata denominata Picule da Carlo Petrusi.

Ampelografia

| OIV | descrizione | valore | | immagini |
|-------|---|--------|---|----------|
| 001 | Giovane germoglio: apertura dell'apice | 5 | completamente aperto | |
| 004 | Giovane germoglio: densità dei peli striscianti dell'apice | 7 | elevata | |
| 007 | Germoglio: colore del lato dorsale degli internodi | 1 | verde | |
| 008 | Germoglio: colore del lato ventrale degli internodi | 2 | verde e rosso | |
| 016 | Germoglio: numero di viticci consecutivi | 1 | 2 o meno | |
| 051 | Foglia giovane: colore della pagina superiore del lembo (4 a foglia) | 2 | giallo | |
| 053 | Foglia giovane: densità peli striscianti tra le nervature principali della pagina inferiore (4a foglia) | 9 | molto elevata | |
| 065 | Foglia adulta: dimensione del lembo | 5 | medio | |
| 067 | Foglia adulta: forma del lembo | 3 | pentagonale | |
| 068 | Foglia adulta: numero dei lobi | 3 | cinque | |
| 070 | Foglia adulta: distribuzione pigmentazione antocianica nervature principali pagina superiore | 1 | assente | |
| 072 | Foglia adulta: depressioni del lembo | 3 | deboli | |
| 074 | Foglia adulta: profilo del lembo in sezione trasversale | 1 / 4 | piano / revoluto | |
| 075 | Foglia adulta: bollosità della pagina superiore del lembo | 3 | bassa | |
| 076 | Foglia adulta: forma dei denti | 5 | misto tra entrambi i lati rettilinei (livello 2) e entrambi i lati convessi (livello 3) | |
| 078 | Foglia adulta: lunghezza dei denti in rapporto alla loro larghezza | 5 | medi | |
| 079 | Foglia adulta: grado di apertura / sovrapposizione dei bordi del seno peziolare | 5 | chiuso | |
| 080 | Foglia adulta: forma della base del seno peziolare | 3 | a V | |
| 081-1 | Foglia adulta: denti del seno peziolare | 1 | assenti | |
| 081-2 | Foglia adulta: base del seno peziolare delimitata dalla nervatura | 1 | non delimitata | |

| | | | | | |
|-------|--|-------|---|---|--|
| 083-2 | Foglia adulta: denti nei seni laterali superiori | 9 | presenti | | |
| 084 | Foglia adulta: densità dei peli striscianti tra le nervature principali sulla pagina inferiore del lembo | 7 | elevata | | |
| 087 | Foglia adulta: densità dei peli eretti sulle nervature principali della pagina inferiore del lembo | 5 | media | | |
| 093 | Foglia adulta: lunghezza del picciolo in rapporto alla lunghezza della nervatura mediana | 1 | più corto | | |
| 151 | Fiore: organi sessuali | 3 | stami completamente sviluppati e gineceo completamente sviluppato | | |
| 153 | Infiorescenza: numero di infiorescenze per germoglio | 2 | da 1,1 a 2 infiorescenze | | |
| 155 | Tralcio: fertilità delle gemme basali (gemme 1-3) | 1 | molto bassa (<0,5) | | |
| 202 | Grappolo: lunghezza (escluso il peduncolo) | 5 | medio |  | |
| 204 | Grappolo: compattezza | 9 | molto compatto | | |
| 206 | Grappolo: lunghezza del peduncolo del grappolo principale | 1 | molto corto | | |
| 208 | Grappolo: forma | 2 | conico | | |
| 209 | Grappolo: numero di ali del grappolo principale | 3 | 3 - 4 ali | | |
| 220 | Acino: lunghezza | 3 / 5 | corto / medio | |  |
| 221 | Acino: larghezza | 3 / 5 | stretto / medio | | |
| 223 | Acino: forma | 2 | sferoidale | | |
| 225 | Acino: colore della buccia | 6 | blu nero | | |
| 236 | Acino: particolarità dell'aroma | 1 | nessuna | | |
| 241 | Acino: sviluppo dei vinaccioli | 3 | completo | | |

Ampelometria



foglia ampelometrica

OIV

nessun descrittore presente per Picule

Superampelo

| distanze | | |
|---|---------|---------------------|
| descrittore | valore | deviazione standard |
| Distanza tra estremità di N2' e estremità della prima ramificazione laterale di N2' | 56.290 | 11.570 |
| Distanza dal seno peziolare al seno inferiore destro | 53.650 | 8.510 |
| Distanza dal seno peziolare al seno inferiore sinistro | 51.910 | 11.030 |
| Distanza dal seno peziolare al seno superiore destro | 62.810 | 15.020 |
| Distanza dal seno peziolare al seno superiore sinistro | 62.670 | 16.130 |
| Nervatura N3, lunghezza dal seno peziolare alla nervatura N4 | 9.910 | 3.370 |
| Nervatura N3', lunghezza dal seno peziolare alla nervatura N4' | 10.350 | 3.590 |
| Lunghezza della nervatura N5 | 21.780 | 4.650 |
| Lunghezza della nervatura N5' | 22.760 | 4.700 |
| Lunghezza della nervatura N4 | 47.950 | 7.870 |
| Lunghezza della nervatura N4' | 46.480 | 6.850 |
| Distanza tra punto peziolare ed estremità della nervatura N4 | 56.150 | 9.770 |
| Distanza tra punto peziolare ed estremità della nervatura N4' | 54.700 | 8.920 |
| Larghezza della foglia | 155.330 | 23.750 |
| Lunghezza della foglia | 163.790 | 26.680 |
| Lunghezza del picciolo | 82.470 | 16.810 |
| Lunghezza della foglia compreso il picciolo | 201.140 | 34.030 |
| Distanza tra gli estremi delle nervature N2 e N2' | 149.090 | 24.160 |
| Lunghezza della nervatura N1 | 118.680 | 19.000 |
| Distanza tra gli estremi delle nervature N4 e N4' | 72.870 | 13.650 |
| Distanza tra gli estremi delle nervature N3 e N3' | 151.500 | 23.470 |
| Lunghezza della nervatura N2 | 107.750 | 15.960 |
| Larghezza del seno peziolare / Distanza tra i punti SP e SP' | -21.780 | 6.870 |
| Lunghezza della nervatura N3 | 76.240 | 12.410 |
| Lunghezza della nervatura N2' | 106.520 | 16.290 |
| Distanza tra estremità di N2 e estremità della prima ramificazione laterale di N2 | 57.950 | 12.910 |
| Lunghezza della nervatura N3' | 76.240 | 12.270 |

| angoli | | |
|---|---------|---------------------|
| descrittore | valore | deviazione standard |
| Angolo tra N1 e N2 misurato alla prima biforcazione | 57.290 | 2.950 |
| Angolo tra N2 e N3 misurato alla prima biforcazione | 50.420 | 4.990 |
| Angolo tra N1 e N2' misurato alla prima biforcazione | 56.580 | 6.040 |
| Angolo tra N3 e N4 alla prima biforcazione di N3 | 49.250 | 5.160 |
| Angolo tra N2' e N3' misurato alla prima biforcazione | 47.270 | 5.620 |
| Angolo tra N1 e N2 misurato agli estremi delle nervature | 44.560 | 4.310 |
| Angolo tra N3' e N4' | 51.090 | 6.230 |
| Angolo tra N2 e N3 misurato agli estremi delle nervature | 52.320 | 3.690 |
| Angolo tra N1 e N2' misurato agli estremi delle nervature | 43.630 | 5.390 |
| Angolo tra N3 e N4 misurato agli estremi delle nervature | 43.160 | 6.620 |
| Angolo tra N2' e N3' misurato agli estremi delle nervature | 48.580 | 4.950 |
| Angolo di apertura del seno peziolare misurato a SP e SP' | 46.130 | 10.540 |
| Angolo tra N3' e N4' misurato agli estremi delle nervature | 45.300 | 4.190 |
| Angolo tra S e S' con centro in N1 | 55.370 | 20.880 |
| Angolo tra D e D' con centro in N1 | 107.130 | 10.460 |
| Angolo tra N3 e la tangente tra il punto peziolare e l'estremità N5 | 62.310 | 7.410 |
| Angolo tra I e I' con centro in N1 | 49.390 | 7.970 |
| Angolo tra N3' e la tangente tra il punto peziolare e l'estremità N5' | 67.140 | 7.290 |

| rapporti | | |
|--|-----------|---------------------|
| descrittore | valore | deviazione standard |
| Prodotto di Lunghezza e larghezza della foglia | 25995.070 | 7961.620 |
| Rapporto tra la lunghezza del picciolo OP e la lunghezza della nervatura N1 | 0.690 | 0.090 |
| Rapporto tra Lunghezza e larghezza della foglia | 1.050 | 0.040 |
| Rapporto tra la distanza dal seno la lunghezza della nervatura N2 | 0.590 | 0.140 |
| Rapporto tra l'altezza e la base del dente all'estremità della nervatura N4' | 0.670 | 0.120 |
| Rapporto tra l'altezza e la base del dente all'estremità della nervatura N2' | 0.770 | 0.120 |
| Rapporto tra l'altezza e la base del dente all'estremità della nervatura N4 | 0.710 | 0.100 |
| Rapporto tra la somma degli angoli a' + b' e la somma della distanza tra il seno peziolare e il seno superiore sinistro OS' e il seno peziolare e il seno inferiore sinistro OI' | 0.020 | 0.000 |
| Rapporto tra l'altezza e la base del dente all'estremità della nervatura N2 | 0.820 | 0.170 |
| Rapporto tra la lunghezza della nervatura N5' e la lunghezza della nervatura N1 | 0.190 | 0.020 |
| Rapporto tra la somma degli angoli a + b e la somma della distanza tra il seno peziolare e il seno superiore destro OS e il seno peziolare e il seno inferiore destro OI | 0.020 | 0.000 |
| Rapporto tra la lunghezza della nervatura N4' e la lunghezza della nervatura N1 | 0.390 | 0.030 |
| Rapporto tra la lunghezza della nervatura N5 e la lunghezza della nervatura N1 | 0.180 | 0.030 |
| Rapporto tra la lunghezza della nervatura N3' e la lunghezza della nervatura N1 | 0.640 | 0.040 |
| Rapporto tra la lunghezza della nervatura N4 e la lunghezza della nervatura N1 | 0.410 | 0.030 |
| Rapporto tra la lunghezza della nervatura N2' e la lunghezza della nervatura N1 | 0.900 | 0.040 |
| Rapporto tra la lunghezza della nervatura N3 e la lunghezza della nervatura N1 | 0.640 | 0.040 |
| Rapporto tra la distanza dal seno peziolare al seno inferiore sinistro OI' e la lunghezza della nervatura N3' | 0.690 | 0.130 |
| Rapporto tra la lunghezza della nervatura N2 e la lunghezza della nervatura N1 | 0.910 | 0.040 |
| Rapporto tra la distanza dal seno peziolare la lunghezza della nervatura N2' | 0.590 | 0.140 |
| Rapporto tra la distanza dal seno peziolare al seno inferiore destro OI e la lunghezza della nervatura N3 | 0.720 | 0.150 |

Bibliografia (2)

| autori | anno | titolo | rivista | citazione |
|--|------|---|---------|---------------|
| Crespan M., Fabbro A., Giannetto S., Meneghetti S., Petrusi C., Del Zan F., Sivilotti P. | 2011 | Recognition and genotyping of minor germplasm of Friuli Venezia Giulia revealed high diversity. | Vitis | 50 (1): 21-28 |
| Sivilotti P., Petrusi C., Stocco M. | 2013 | Le viti dimenticate. Un patrimonio riscoperto in Friuli Venezia Giulia. | | ERSA, Gorizia |